

# سیکلواستراتیگرافی سازند آب دراز در خاور حوضه کپه داغ و تأثیر چرخه های میلانکوویج

لیلی فاتح بهاری<sup>۱</sup>، محمد حسین محمودی قرائی<sup>۱</sup>، اسدالله محبوبی<sup>۱\*</sup> و رضا موسوی حرمی<sup>۱</sup>

گروه زمین شناسی، دانشکده علوم، دانشگاه فردوسی مشهد، مشهد، ایران

تاریخ پذیرش: ۱۳۸۹/۰۷/۲۰

تاریخ دریافت: ۱۳۸۹/۰۲/۱۱

## چکیده

سازند آب دراز (تورونین - سانتونین) یک توالی مارنی - کربناتی با سه واحد سنگ آهک گل سفیدی - مارن آهکی است. این سازند در حوضه رسوی کپه داغ از گسترش چشمگیری برخوردار است. چرخه های آهک گل سفیدی - مارن آهکی یکی از اشکال ویژه رخساره کربناتی در این سازند است که به شکل ریتمیک در مقیاس دسی متر تا متر واحدهای گل سفیدی را تشکیل می دهد. طبقات آهک گل سفیدی حاوی ۹۵-۸۰ درصد و طبقات مارن آهکی دارای ۸۰-۶۵ درصد کربنات هستند و در صحرا به صورت تناوبی از لایه های تیره و روشن رخمنون دارند. واحدهای آهک گل سفیدی و مارن آهکی سازند آب دراز در دو برش سطح الارضی حمام قلعه و پادها و چاه شماره ۵۶ خانگیران مورد مطالعه قرار گرفته است. در بررسی های تحت الارضی سه بسامد چیره بر اساس نمودار پرتو گامان شناسابی شده است که بر اساس سه چرخه ۲۳-۲۱ هزار ساله (Precession)، ۴۱۳ هزار ساله (Eccentricity) و ۱۰۰ هزار ساله (Long Eccentricity) میلانکوویج است. سن سنجی مداری بر اساس شمارش چرخه های Eccentricity با سن به دست آمده از داده های زیست چینه نگاری همخوانی دارد. این چرخه ها با نمودار تغییرات درصد کربنات در نمونه های سطح الارضی حمام قلعه و پادها نیز قابل تطبیق است.

## کلیدواژه ها: سازند آب دراز، سیکلواستراتیگرافی، چرخه های میلانکوویج

\*نویسنده مسئول: اسدالله محبوبی

E-mail: amahboobi2001@yahoo.com

## -۱ مقدمه

توالی های رسوی ارائه کرد (Fiet et al., 2001; Abdul Aziz et al., 2004) با توجه به این که تناوب سنگ آهک گل سفیدی و مارن آهکی با مقیاس های دسی متر تا متر در سازند آب دراز از گسترش خوبی برخوردار است، از این رو، هدف از انجام این تحقیق، مطالعه شرایط رسوبگذاری این زوج لایه ها و بررسی تأثیرات احتمالی چرخه های میلانکوویج بر تشکیل آنها است.

## -۲ موقعیت زمین شناسی

در این پژوهش، سازند آب دراز در دو برش سطح الارضی پادها و حمام قلعه و چاه شماره ۵۶ خانگیران در خاور حوضه کپه داغ بررسی شده است (شکل ۱). برش حمام قلعه با مختصات  $35^{\circ} ۵۶' ۳۶''$  عرض شمالی و  $۵۹^{\circ} ۴۶' ۰''$  طول خاوری و ستبرای  $۵۱۷/۵$  متر، در مسیر جاده مشهد - کلات در فاصله ۲۰ کیلومتری شهرستان کلات واقع شده است. برش پادها با مختصات  $۳۰^{\circ} ۵' ۳۶''$  عرض شمالی و  $۴۴^{\circ} ۶' ۰''$  طول خاوری و ستبرای  $۶۴۰/۵$  متر، در مسیر جاده مشهد - سرخس در فاصله ۱۰ کیلومتری مزادوند قرار دارد. سازند آب دراز به صورت هم شبی بر روی ماسه سنگ های سازند ایتمامی و در زیر سازند آب تلخ قرار گرفته است. بر اساس مطالعه روزن بران، سن این سازند تورونین - سانتونین تعیین شده است (وحدتی راد، ۱۳۸۷؛ Kalantari, 1987). سازند آب دراز در هر دو برش دارای ۳ واحد سنگ آهک گل سفیدی است که توسط ستبرای قابل توجهی از رسوبات شیلی و مارنی از هم جدا می شوند. چاه شماره ۵۶ خانگیران نیز در عرض جغرافیایی  $۳۱^{\circ} ۳۳' ۳۱''$  و طول جغرافیایی  $۴۹^{\circ} ۲۶' ۶۰''$  واقع است. ستبرای سازند آب دراز در این چاه  $۴۵۲$  متر است.

## -۳ روش مطالعه

در این تحقیق، ابتدا نمونه های برداشت شده از رخمنون های سطحی مورد مطالعه رسوب شناسی قرار گرفتند. مطالعه نمونه ها توسط میکروسکوپ های نوری و الکترونی روبشی (LEO 1450VP) در دانشگاه فردوسی مشهد انجام گرفته است. ۱۵۰ نمونه برداشت شده از تناوب چرخه های سنگ آهک گل سفیدی - مارن

رسوبات ریتمیک یکی از جالب ترین ویژگی ها در سنگ های کربناتی است که در محیط های دریابی پلاژیک تا همی پلاژیک، سکو های کربناتی دریابی کم ژرف، لاگون و محیط های دریاچه ای تشکیل می شود (Einsele et al., 1991). اگر چه این رسوبات در تمام دوره های زمین شناسی دیده می شود، اما گسترش آنها در کرتاسه نسبت به دیگر دوره ها بیشتر است (Westphal, 2006). چرخه های سنگ آهک گل سفیدی - مارن آهکی در مقیاس های سانتی متر تا متر و به صورت تناوب لایه های غنی و فقیر از کربنات از اشکال فراوان در سنگ های مزوژویک بویژه در سنگ های پلاژیک و همی پلاژیک کرتاسه است (Wendler et al., 2002). اگر چه هنوز سازو کار تشکیل این چرخه ها به درستی شناخته نشده است، اما شماری از آنها به تغییرات مداری زمین یا چرخه های میلانکوویج نسبت داده شده اند از آنها به دور خورشید که باعث نوسانات آب و هوایی و چرخه های منظم زمین و مدار آن به دور خورشید که باعث نوسانات آب و هوایی و چرخه های منظم رسوبی کوچک مقیاس می شود، مبنای مطالعه سیکلواستراتیگرافی و چرخه های میلانکوویج است (برای مثال Yilmaz, 2008; Yilmaz et al., 2010).

تغییرات مداری بر اساس دوره های زمانی به سه شکل Eccentricity (کم و بیش ۹۵۰۰ ساله و همچنین در دوره های ۴۰۰ هزار ساله، ۱۳۰۰ هزار ساله و دو میلیون ساله)، Obliquity (حدود ۴۴۰۰ ساله) و Precession (بین ۱۹ تا ۲۳ هزار سال) تقسیم می شود (De Boer & Smith, 1994; House & Gale, 1995; Skelton et al., 2003) (Hennebert et al., 2009). تغییر در پارامتر های مداری زمین سبب تغییر در جریان تابش خورشید و ایجاد الگوهای پیچیده آب و هوایی شده و می تواند روی رسوبات تأثیر بگذارد. افزون بر آن، می تواند منجر به ذوب و انجام دینخواه و نوسانات سطح آب دریا شده و با تأثیر بر فرایند های هوازدگی و فرسایش، طبیعت و سرعت رسوبگذاری را نیز تغییر دهد (House & Gale, 1995). از سوی دیگر با استفاده از چرخه های مرتبه پنجم (Fifth Order) که در ارتباط با مدار اریتالی زمین (Williams et al., 2002; Gradstein & Ogg, 2004) هستند و دقت بالایی نیز دارند (Taff et al., 2009) و تلفیق آن با داده های زیست چینه نگاری، می توان چارچوب دقیقی از زمان در

هر دو برش مورد مطالعه بررسی شده و در شکل ۶ تنها تغییرات در برش حمام قلعه نشان داده شده است. در برش مورد مطالعه ستبرای رخساره‌های آهک گل سفیدی در مقایسه با ستبرای کل برش کم است (بین ۱۵ تا ۴۰ متر) در حالی که رخساره‌های مارنی ستبراهای بیشتری بین ۳۰۰-۵۰ متر دارند.

رخساره سیلیسی آواری به طور عمدۀ از مارن و مقادیری شیل تشکیل شده است. مقدار کربنات این مارن‌ها از ۱۵-۶۵ درصد در تغییر است. مقادیر کمتر کربنات در رخساره مارنی نشان می‌دهد که میزان نسبی رسوبگذاری کربنات کاهش یافته و یا این که ورود آواری‌های دانه‌ریز در آن زمان افزایش یافته است.

افزون بر دو برش حمام قلعه و پادها، نمودار پرتو گاما در چاه شماره ۵۶ خانگیران نیز به منظور تعیین دقیق تر چرخه‌های مداری (orbital cycles)، مورد استفاده قرار گرفته است. بدلیل این که نمودار پرتو گاما، پراش‌های طبیعی عناصر رادیواکتیو در کائی‌ها از جمله پتاسیم، اورانیم و توریم را منعکس می‌کند و این عناصر بویژه پتاسیم در کائی‌های رسی و برخی تبخیری‌ها متداول هستند، لذا طبقات آهک گل سفیدی شدت کمتری در نمودار پرتو گاما نشان می‌دهند. در حالی که طبقات مارن آهکی به دلیل داشتن مقدار رس بیشتر (Cant, 1992) پرتو گاما بیشتری دارند (Liu, 2007) و بنابراین با توجه به این تفاوت از آنها می‌توان به طور گسترده برای تعیین چرخه‌ها استفاده کرد (Wendler et al., 2002; Scott et al., 2004; Weedon et al., 2004).

تناوب مارن آهکی- آهک در سازند آب دراز نشانه مستقیمی از تأثیر نیروهای مداری است به طوری که می‌تواند تغییرات شرایط آب و هوای دیرینه را در موزوویک نشان دهد (Bellanca et al., 1996). تغییرات آب و هوایی تحت تأثیر نیروهای مداری و اختلافات فصلی حاصل از آنها منجر به تغییر در اجزای بیوژنیک (برای مثال ۲۰۰۲ Rodriguez-Tovar et al., 2010; Wendler et al., 2002) نوع و مقدار ذرات آواری و تغییر درصد فراوانی کربنات در آنها شده است. با تعیین بسامدھای چیره این چرخه‌ها و انطباق آنها با چرخه‌های مداری، می‌توان تغییرات نرخ رسوبگذاری در سازند آب دراز را با کیفیت هرچه بهتر نشان داد.

باتوجه به سن تورونین تاسانتونین سازند آب دراز در برش حمام قلعه (وحدتی‌راد، ۱۳۸۷) که معادل ۱۰ میلیون است و ستبرای ۴۵۲ متری این سازند در چاه شماره ۵۶ خانگیران، میانگین نرخ رسوبگذاری بدون در نظر گرفتن میزان فشردگی در کل سازند، ۴۵/۲ متر در هر میلیون سال یا به عبارتی ۴/۵۲ سانتی متر در هر هزار سال برآورد می‌شود. بر اساس نمودار پرتو گاما، چرخه‌ها در سه مقیاس متفاوت تفسیر شده‌اند: چرخه‌های کوتاه مدت با بزرگی خیلی کم و ستبرای ۰/۸۸ تا ۱/۱۱ متر در هر چرخه؛ چرخه‌های میان مدت (متوسط) با بزرگی کم و ستبرای ۳/۸۴ تا ۵/۳۸ متر در هر چرخه و بالآخره چرخه‌های طولانی مدت با بزرگی بیشتر و ستبرای ۱۸ تا ۲۴ متر در هر چرخه. چرخه‌های کوتاه مدت از ۳ تا ۵ چرخه میان مدت (متوسط) تشکیل شده است. با استفاده از نرخ رسوبگذاری برآورد شده ۴/۵۲ سانتی متر در هر هزار سال، این سه چرخه به ترتیب دوره‌های ۱۹/۵ تا ۱/۵ هزار ساله ۲۴/۵ هزار ساله و ۳۹/۸ تا ۳۹/۸ هزار ساله را نشان می‌دهند که می‌تواند منطبق بر سه چرخه ۲۱ تا ۲۳ هزار ساله (Precession)، ۱۰۰ هزار ساله (Eccentricity) و ۴۱۳ هزار ساله (Long Eccentricity) میلانکوویج باشد. افزون بر این، چرخه‌های Eccentricity از این داده‌ها برای زمان‌سنجی بر اساس سیکلواستراتیگرافی استفاده شود (شکل ۷). لازم به یادآوری است که چون چرخه Precession در هر چرخه از ستبرای بسیار کمی برخوردار است و به طور کلی چرخه کوتاه مدتی را شامل می‌شود لذا نمی‌توان روی شکل نشان داد، در صورتی که چرخه‌های Eccentricity و long Eccentricity به دلیل بلند مدت بودن و داشتن ستبرای بیشتر، قابل ارائه روی شکل هستند. به طور

آهکی ۷۶ نمونه در برش حمام قلعه و ۵۴ نمونه در برش پادها) به روش وزنی کلسی متری شده است. میزان کربنات یا به عبارت دیگر مقدار مواد غیرقابل حل (IR) در زوج لایه‌های آهک گل سفیدی- مارن آهکی در هر دو برش با شستشو توسط اسید کلریدریک ۱۰ درصد اندازه گیری شده است. IR به دست آمده از کلسی متری ۲۵ نمونه آهک گل سفیدی- مارن آهکی، برای تعیین اندازه ذرات و همچنین تعیین فراوانی رس و سیلت به روش Particle Analyzer در آزمایشگاه رسوب شناسی سازمان زمین‌شناسی دریایی ساری دانه‌سنجی شده و تغییرات نسبت رس به سیلت موجود در گل‌های کربناتی تعیین شده است. لازم به یادآوری است که به دلیل تشابه تجزیه‌ها در واحدھای گل سفیدی برش‌های مورد مطالعه، فقط کلسی متری واحد ۳ در هر دو برش سطح الارضی و دانه‌سنجی در برش حمام قلعه به تفصیل ارائه شده است. به منظور نمایش دقیق تر چرخه‌های رسوبی از نمودار پرتو گاما در چاه شماره ۵۶ خانگیران استفاده شده است و این داده‌ها با تغییرات مقدار کربنات در نمونه‌های سطح الارضی مقایسه شده‌اند. نرخ میانگین رسوبگذاری بر اساس دوره زمانی تورونین تا سانتونین و ستبرای سازند برآورد شده است. بسامدھای چیره در این سازند با استفاده از ستبرای هر پیک در نمودار پرتو گاما محاسبه و تمامی چرخه‌های Long Eccentricity، Precession و Eccentricity بر اساس سیکلواستراتیگرافی مورد استفاده قرار گرفتند. در این روش به منظور دقت بالای تفکیک بسامدھای چیره، ابتدا نمودار پرتو گاما ۱۰ برابر شده و پس از تفکیک چرخه‌ها (هر چرخه فاصله بین دو پیک یا بیشترین مقدار پرتو گاما در نظر گرفته شده است)، دوباره اندازه نمودار به وضعیت اولیه برگردانده شده است.

#### ۴- بحث

سازند آب دراز دارای دو رخساره کربناتی و سیلیسی آواری است که به صورت متنابض رخنمون دارند (شکل ۲). رخساره کربناتی شامل واحدھای گل سفیدی است که خود از تناوب چرخه‌های آهک گل سفیدی و مارن آهکی با ستبرای سانتی متر تا ۱ متر تشکیل شده است. این رخساره حاوی روزنبران پلاتکتونیک و کفتزی، استراکود و خردھای اینوسراموس، اکینودرم، بربیزوآ و کلسی اسفر است. جلبک‌های قوهای- طلایی کوکولیتوفور و صفحات جداسده کلسیتی (کوکولیت) از دیگر اجزاء تشکیل دهنده این رخساره است. طبقات آهک گل سفیدی به طور عمده پکستون- و کستون دارای کلسی اسفر (calcisphere packstone-wackestone) است (شکل ۳-الف) و از زیر رخساره‌های پکستون- و کستون اینوسراموس دار (شکل ۳-ب) و پکستون- و کستون فرامینی فردار (شکل ۳-ج) نیز تشکیل شده است. نمونه‌های آهک گل سفیدی و مارن آهکی در هر سه واحد آهک گل سفیدی مورد مطالعه در برش‌های حمام قلعه و پادها به ترتیب دارای ۸۰- ۸۵- ۹۵ درصد و ۶۵- ۸۰ درصد کربنات دارند. به دلیل شباهت تغییرات درصد فراوانی کربنات‌ها و مواد غیر قابل حل (IR) در این برش‌ها و به منظور جلوگیری از تکرار مطالب تنها واحد سوم آهک گل سفیدی در هر دو برش در شکل‌های ۴ و ۵ ارائه شده است. طبقات آهک گل سفیدی به خاطر داشتن مواد کربناتی بیشتر در برابر هوازدگی مقاومتند و به رنگ سفید تا خاکستری روشن رخنمون دارند در حالی که میان لایه‌های مارن آهکی حاوی سیلت و رس بیشتری بوده و در رخنمون به رنگ خاکستری تیره دیده می‌شود. بر اساس بررسی‌های SEM اجزای تشکیل دهنده رسوبات گل سفیدی شباهت زیادی با رسوبات مارن آهکی دارند به طوری که هر دو اساساً دارای پوسته‌های نانوپلاتکتون آهکی (شکل ۳-د)، داینوفلازله‌های آهکی و روزنبران آهکی هستند و ذرات رسوبات آواری آنها به طور عمدۀ رس و سیلت ولی با نسبت‌های متفاوت هستند. تغییرات IR و نسبت رس به سیلت موجود در رخساره کربناتی و مارنی در

مارن آهکی به نسبت فقیر از کربنات (۸۰-۶۵ درصد) است. مقادیر کمتر کربنات نشان می‌دهد که یا رسوبگذاری کربنات کاهش یافته و یا این که ورود آواره‌های دانه‌ریز در آن زمان افزایش یافته است. اگر چه سازوکار تشکیل چرخه‌های آهک گل سفیدی- مارنی هنوز به درستی مشخص نشده است، اما با توجه به بررسی‌های سیکلواستراتیگرافی، تغییرات چرخه‌ای سازند آب‌دراز را می‌توان به چرخه‌های آشفتگی مدار زمین یا چرخه‌های میلانکوویچ نسبت داد. سه بسامد چیزه از روش نمودار پرتو گاما در سازند آب‌دراز تعیین شده است که نشان می‌دهد واحد آهک گل سفیدی- مارن آهکی این سازند در سه دوره ۲۱ تا ۲۳ هزار ساله (Precession)، ۴۳ هزار ساله (Eccentricity) و ۱۰۰ هزار ساله (long Eccentricity) میلانکوویچ تشکیل شده‌اند. با استفاده از زمان‌سنجی مداری و شمارش تعداد چرخه‌های نمودار پرتو گاما دوره زمانی ۱۰/۶ میلیون سال برای سازند آب‌دراز به دست آمد که با داده‌های سن‌سنجی زیست‌چینه‌نگاری قابل مقایسه است.

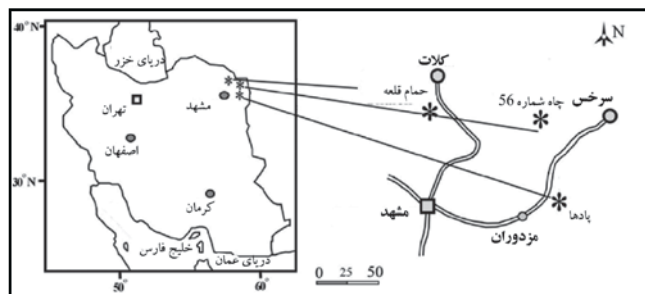
### سپاسگزاری

از گروه زمین‌شناسی دانشگاه فردوسی مشهد به خاطر تأمین امکانات لازم و از شرکت نفت مناطق مرکزی ایران به سبب در اختیار گذاشتن داده‌های زیرسطحی قدردانی می‌شود.

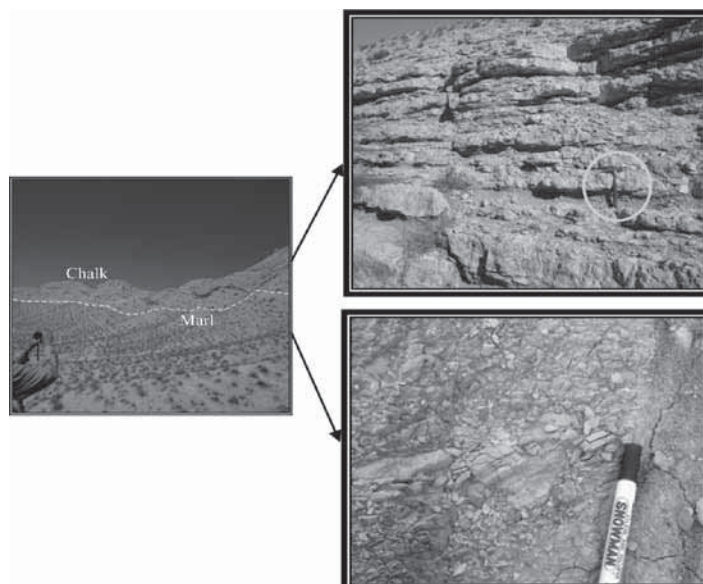
کلی ۲۶ چرخه Long Eccentricity از ژرفای ۱۰۶ تا ۱۰۴ چرخه Eccentricity از ژرفای ۱۱۹۰ تا ۱۶۴۲ تعیین شد. از آن جایی که هر چرخه با رده متوسط در طول یک چرخه ۱۰۰ هزار ساله (Eccentricity) نهشته می‌شود، بنابراین مدت زمان محاسبه شده از روش شمارش این چرخه‌ها در سازند مورد مطالعه حدود ۱۰/۶-۱۰/۴ میلیون سال برآورد می‌شود که با سن به دست آمده توسعه داده‌های زیست‌چینه‌نگاری قابل مقایسه است (برای مثال Liu, 2007). لازم به یادآوری است که بسامدهای Obliquity با استفاده از داده‌های پرتو گاما قابل تشخیص نبوده است. افزون بر این که باید توجه داشت که Obliquity در عرض‌های جغرافیایی بالا تأثیر بیشتری بر شرایط آب و هوایی و در نتیجه تغییرات رسوبگذاری دارد ولی تأثیر آن در عرض‌های جغرافیایی پایین ناچیز است (Berger, 1978). در پایان، به این نکته نیز باید توجه داشت که از خطاهای اصلی این روش می‌توان به تعیین مرز چرخه‌ها و شمارش آنها اشاره کرد بویژه زمانی که چرخه‌ها به هم نزدیک می‌شوند (Williams et al., 2002).

### ۵- نتیجه‌گیری

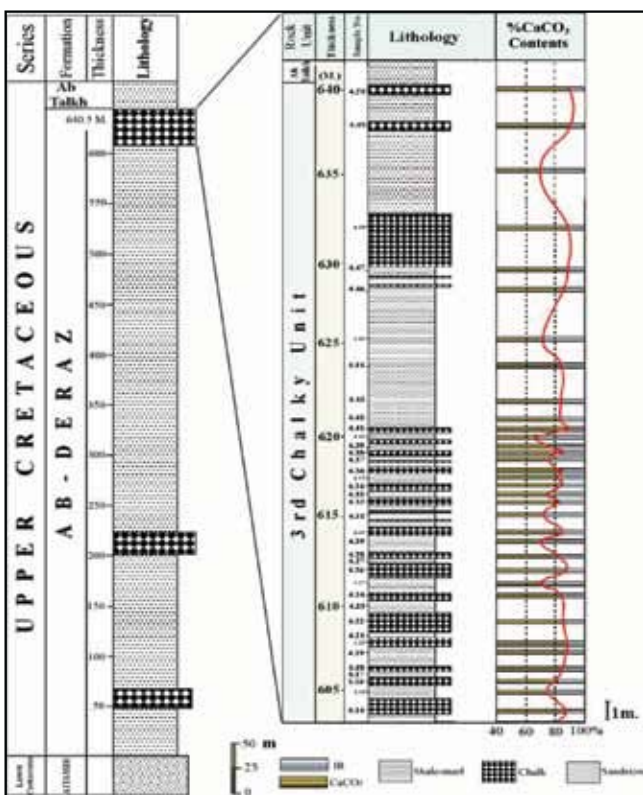
یکی از برجهسته ترین اشکال رسوبگذاری در سازند آب‌دراز زوج لایه‌های آهک گل سفیدی- مارن آهکی در مقیاس متر تا دسی متر است. کلاسی متري نمونه‌ها نشان می‌دهد که طبقات آهک گل سفیدی غنی از کربنات (۹۵-۸۰ درصد) و طبقات



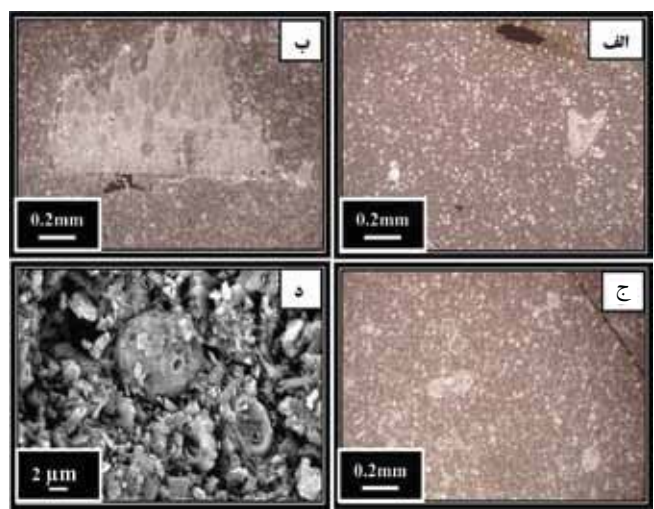
شکل ۱- موقعیت برش‌های مورد مطالعه (حمام قلعه و پاده) و چاه شماره ۵۶ خانگیران در حوضه کپه‌داغ



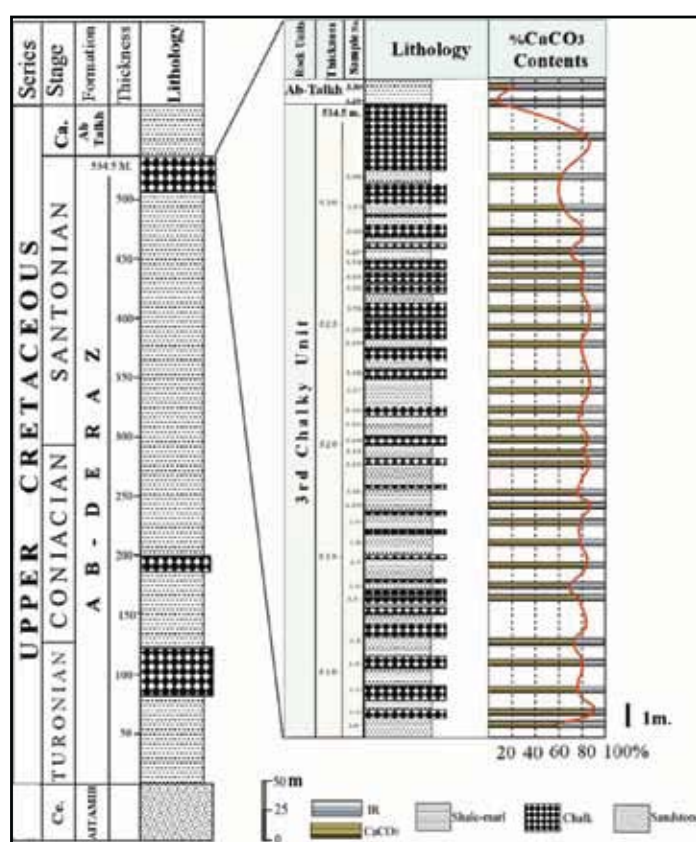
شکل ۲- رخمنون چرخه‌های منظم آهک گل سفیدی- مارن آهکی سازند آب‌دراز در برش پاده



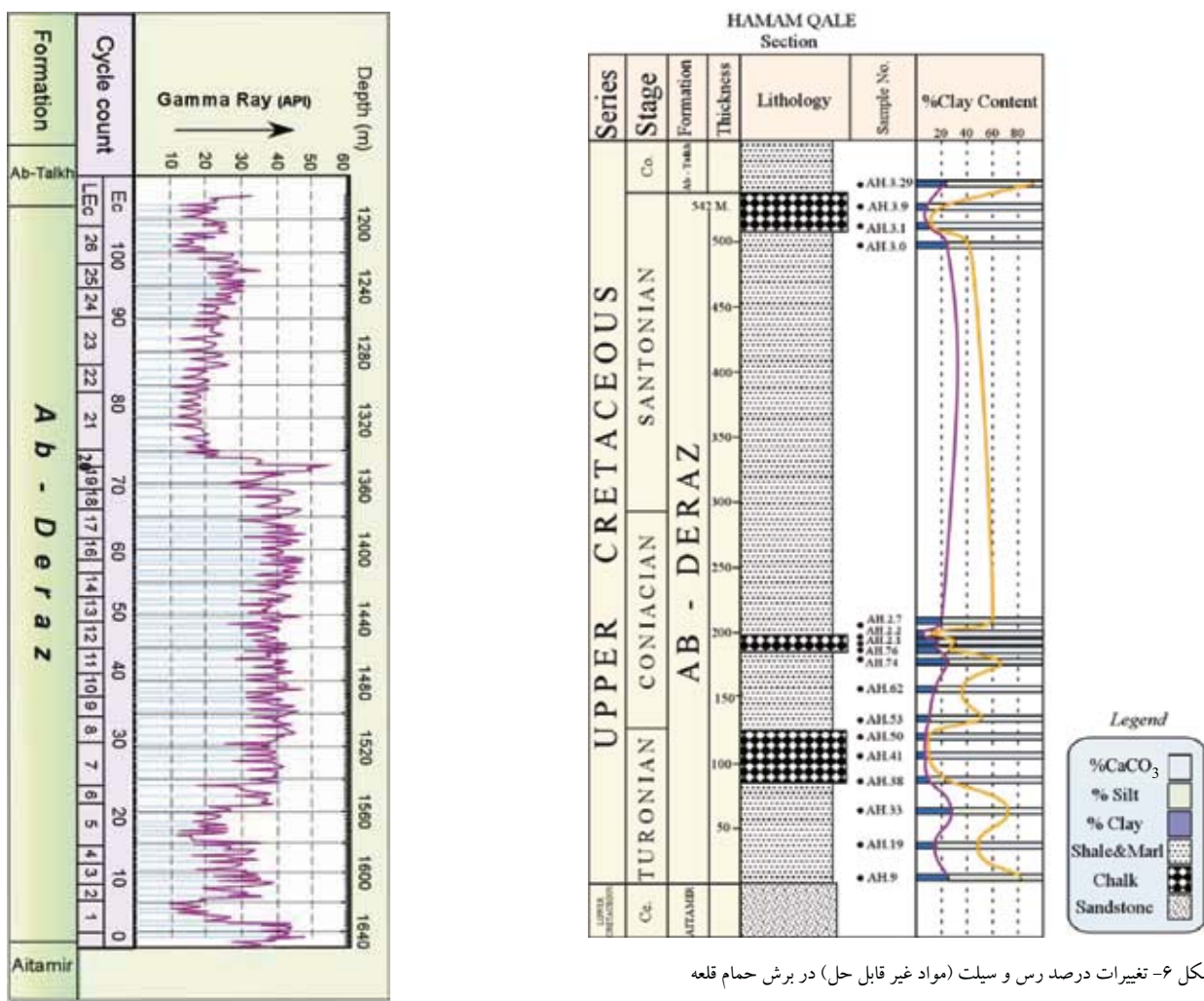
شکل ۴- تغییرات فراوانی مقدار درصد کربنات و مواد غیر قابل حل در واحد گل سفیدی ۳ (آهک گل سفیدی ۳) در برش پادها



شکل ۳- (الف) پکستون- و کستون دارای کلسی اسفر، (ب) پکستون- و کستون اینوسراموس دار، (ج) پکستون- و کستون فرامینی فردار (د) تصویر SEM از یک نمونه آهک گل سفیدی حاوی کوکولیتوف و صفحات کوکولیت



شکل ۵- تغییرات فراوانی مقدار درصد کربنات و مواد غیر قابل حل در واحد گل سفیدی ۳ (آهک گل سفیدی ۳) در برش حمام قلعه



شکل ۶- تغیرات درصد رس و سیلت (مواد غیر قابل حل) در برش حمام قلعه

شکل ۷- شمارش چرخه‌های مداری سازند آب دراز با استفاده از پرتو گاما در چاه شماره ۵۶ خانگیران.

### کتابنگاری

وحدتی راد، م.، ۱۳۸۷- بیواستراتیگرافی و تعیین محیط رسوی سازند آب دراز در برش حمام قلعه، پایان نامه کارشناسی ارشد، دانشگاه فردوسی مشهد، ۱۷۸ صفحه.

### References

- Abdul Aziz, H., Van Dam, J., Hilgen, F. J. & Krijgsman, W., 2004- Astronomical forcing in Upper Miocene continental sequences: implications for the Geomagnetic Polarity Time Scale, *Earth and Planetary Science Letters*, 222: 243-258.
- Bellanca, A., Claps, M., Erba, E., Masetti, D., Neri, R., Premoli Silva, I., Venezia, F., 1996- Orbitally induced limestone/marlstone rhythms in the Albian–Cenomanian Cisson section (Venetian region, northern Italy); sedimentology, calcareous and siliceous plankton distribution, elemental and isotope geochemistry. *Palaeogeography, Palaeoclimatology, Palaeoecology* 126: 227– 260.
- Berger, A. L., 1978- Long-term variations of caloric insolation resulting from the Earth's orbital elements, *Quaternary Research*, 9: 139-167.
- Cant, D. J., 1992- Subsurface facies analysis. In: Walker, R.G. & James, N.P. (eds.) *Facies Models: Response to Sea Level Change*. Geological Association of Canada. PP 27-45.
- De Boer, P. L. & Smith, D. G., 1994- Orbital forcing and cyclic sequences, *Special Publication International Association Sedimentology*, 19: 1-14.

- Einsele, G., Ricken, W. & Seilacher, A., 1991- Cycles and Events in Stratigraphy, edition. Springer-Verlag, 955 p.
- Fiet, N., Beaudoin, B. & Parize, O., 2001- Lithostratigraphic analysis of Milankovitch cyclicity in pelagic Albian deposits of central Italy: implications for the duration of the stage and substages, *Cretaceous Research*, 22: 265-275.
- Gradstein, F. M. & Ogg, J. G., 2004- Geologic time scale 2004 - why, how and where next! *Lethaia*, 37: 175-181.
- Hennebert, M., Robaszynski, F. & Goolaerts, S., 2009- Cyclostratigraphy and chronometric scale in the Campanian – Lower Maastrichtian: the Abiod Formation at Elle's, central Tunisia, *Cretaceous Research* 30: 325-338.
- House, M. R. & Gale, A. S., 1995- Orbital Forcing Timescale: an introduction. Geological Society Publication 85: 1-18.
- Kalantari, A., 1987- Biofacies relationship of the Kopet-Dagh region: Tehran, National Iranian Oil Company Exploration and Production Group, 1sheet.
- Liu, K., 2007-Sequence stratigraphy and orbital cyclostratigraphy of the Mooreville Chalk (SantonianCampanian), northeastern Gulf of Mexico area, USA, *Cretaceous Research*, 28: 405-418.
- Rodríguez-Tovar, F. J., Reolid, M. & Pardo-Iguizquiza, E., 2010- Planktonic versus benthic Foraminifera response to Milankovitch forcing (Late Jurassic, Betic Cordillera): testing methods for cyclostratigraphic analysis, *Facies*, DOI 10.1007/s10347-010-0216-2
- Scott, G. H., King, P. R. & Crundwell, M. P., 2004- Recognition and interpretation of depositional units in a Late Neogene progradational shelf margin complex, Taranaki Basin, New Zealand: foraminiferal data compared with seismic facies and wireline logs, *Sedimentary Geology*, 164: 55-74.
- Skelton, P. W., Spicer, R. B., Kelley, S. P. & Gilmour, L., 2003- The Cretaceous World, Cambridge University Press, 360 p.
- Weber, M. E., Fenner, J., Thies, A. & Cepek, P., 2001- Biological response to Milankovitch forcing during the late Albian (Kirchrode I borehole, northwestern Germany), *Palaeogeography, Palaeoclimatology, Palaeoecology*, 174: 269-286.
- Weedon, G. P., Coe, A. L. & Gallois, R. W., 2004- Cyclostratigraphy, orbital tuning and inferred productivity for the type Kimmeridge Clay (Late Jurassic), southern England, *Journal of the Geological Society, London*, 161: 655-666.
- Wendler, J., Grafe, K.-U. & Willem, H., 2002- Reconstruction of mid- Cenomanian orbitally forced paleoenvironmental changes based on calcareous dinoflagellate cysts, *Palaeogeography, Palaeoclimatology, Palaeoecology*, 179: 19-41.
- Westphal, H., 2006- Limestone–marl alternations as environmental archives and the role of early diagenesis: a critical review, *International Journal Earth Science*, 95: 947-961.
- Williams, T., Kroon, D. & Spezzaferri, S., 2002- Middle and upper Miocene cyclostratigraphy of downhole logs and short- to long-term astronomical cycles in carbonate production of the Great Bahama Bank, *MarineGeology*, 185: 75-93.
- Yilmaz, I. O., 2008- Cretaceous Pelagic Red Beds and Black Shales (Aptian – Santonian), NW Turkey: Global Oceanic Anoxic and Oxic Events, *Turkish Journal of Earth Sciences* 17, 263–296.
- Yilmaz, I. O., Altiner, D., Tekin, U. K., Tuysuz, O., Ocakoglu, F. & Acikalin, S., 2010- Cenomanian – Turonian Oceanic Anoxic Event (OAE2) in the Sakarya Zone, northwestern Turkey: Sedimentological, cyclostratigraphic, and geochemical records, *Cretaceous Research*, 31: 207-226.